

京大工 正員 松岡 譲  
京大工 学員 ○水田裕之  
京大工 正員 岩井重久

水系の形状変化、中でも凹部における水質運動の把握は、河川における死水域、又海湾等の水質の変化を定量する上で非常に重要な問題であると思われる。本研究では、特に、河川の凹部が、移流分散へ及ぼす影響を調べるために、凹部と主流部間での水質の移動係数を導入し、そのモデルの妥当性について研究した。

本研究では、まず図-1の様な水路において、凹部の水質収支式を次に導く。  

$$H(x_1, x_2) \frac{\partial c_1}{\partial t} = k(c - c_1) H(x_1, x_2) \quad (1)$$

ここで  $c_1$  は凹部の濃度、  $c$  は主流部の濃度、又  $k$  は水質移動係数であり、関数  $H(x_1, x_2)$  は、  $x < x_1$ 、  $x > x_2$  の時  $H = 0$ 、  $x_1 < x < x_2$  の時、  $H = 1$  である。

次に、主流部における分散の基礎式は、次式で表わされる。<sup>(1)</sup>

$$\frac{\partial c}{\partial t} + u \frac{\partial c}{\partial x} = E \frac{\partial^2 c}{\partial x^2} + \frac{2B}{D} k(c_i - c) H(x_1, x_2) \quad (2)$$

本研究においては、水路の西側に凹部を設置してあるので、右辺第2項の係数が  $2B$  となる。式(2)をそのまま解く事も可能であるが、本研究には、区間  $x_1$  へといたりて、右辺第1項に比べ第2項が卓越してあることから、第1項は除外する。そこで、分散の増分を求めるために、式(1)、(2)を、これらラプラス変換すると次式となる。

$$H(x_1, x_2) s Y_1(x, s) = k(Y(x, s) - Y_1(x, s)) H(x_1, x_2) \quad (3)$$

$$s Y(x, s) + u \frac{d}{dx} Y(x, s) = \frac{2B}{D} k(Y_1(x, s) - Y(x, s)) H(x_1, x_2) \quad (4)$$

式(3)、(4)より  $Y_1$  を消去し、  $x > x_1$  として、  $x$  まで積分すると、次式を得る。

$$Y(x, s) = \exp \left[ - \frac{s}{u} \frac{2B(x_2 - x_1)}{D(s/k + 1)} + x \right] \quad (5)$$

ここで、次式の様に、  $m_1$ 、  $m_2$  をおく。

$$\lim_{s \rightarrow 0} \frac{dy}{ds} / \lim_{s \rightarrow 0} Y = -m_1, \quad \lim_{s \rightarrow 0} \frac{d^2 Y}{ds^2} / \lim_{s \rightarrow 0} Y = m_2 \quad (6), (6')$$

すると、凹部における分散の増加分  $\Delta c_1^2$  は、近似的に次式となる。

$$\Delta c_1^2 = m_2 - m_1^2 = \frac{4B\lambda}{kuD} \quad (7)$$

実験では、まず、先の性質を調べるために、凹部にパンチ孔を用いて、その数が 1% になる時間  $T(\alpha)$  を求めている。時間係数  $T$  を求めたグラフの一例を、図-2 に示す。なお、測定は、長さ 21m、幅 16cm の水路西側に、設け

Fig.1

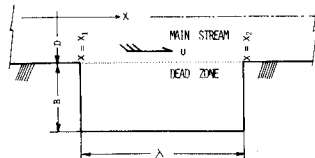


Fig.2

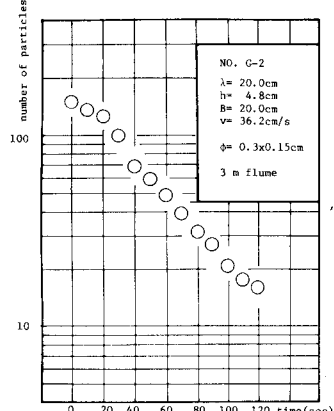
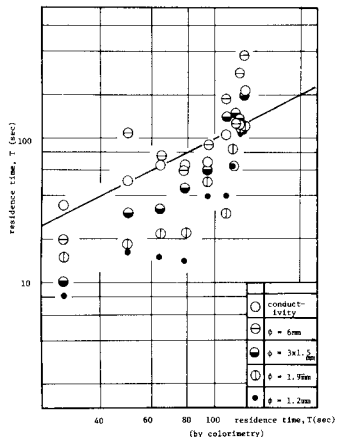


Fig.3



らかに、 $B=8\text{cm}$ の凹部を使用して行なつた。また、測定値に、一般性を持たせたため、別の長さ3m、幅51cmの水路を用い、凹部の形状比既に段階的に変化させ、パニタくずの大生土も変えて、Tを測定してみた。土5に、パニタくずと実際の水質との関係を調べるために、Xテレンブルー及びNaCl溶液を流し、凹部における定常状態からの濃度の減少率を測定し、

同様の操作を行ひ、Tを導いた。その比較結果を図-3に示す。また、パニタくずによる結果を図-4に、Re数との関連においてプロットした。

上述したTと見は、 $T=2^3/\lambda$ の関係にあり、この式を、式(4)に代入すると、次式となる。

$$\Delta \sigma_t^2 = \frac{1.74 B \lambda T}{u D} \quad (8)$$

1つめに、式(8)に対応して、前述した長さ21m水路を使用し、凹部による分散の増加分を求めた。測定は、NaCl溶液を投入し、白金電極を用い、データレコーダに記録した。C-t曲線から、モーメント法により分散を求めて、図-5の様にして推定した。なお、投入は、水深、流量、入力を系統的に変化させて行った。1つの水理条件で、3回の投入を行ひ平均値を出した。

2つめ、式(8)より、 $\Delta \sigma_t^2$ とTとの関係を次の様におく事ができます。

$$\frac{\Delta \sigma_t^2 u^2 D}{1.74 B^2 \lambda} = \frac{T u}{B} \quad (9)$$

上式の $\Delta \sigma_t^2$ 、Tに実験結果を代入しプロットしたのが図-6である。

結論： 1. 凹部における水質交換は、Re数、及び形状比 $\lambda$ により系統的に変化する事が推測される。1つめ、流量による影響は見られず、この事は、凹部における水質移動に、Re数が主な役割を果していなければ示す。

2. また、粒子の大生土により、凹部における水質物動係数に違いが見られる。

3. 図-6より理解できるように、基礎式(1), (2)より導びかれたモーテル式(8)では、凹部による分散の増加を完全に説明できない。これは、式(1)では、凹部の水質は横方向に完全混合土山ると考えたのに對し、實際は、この一部分でしか混合が行なわれない事によると思われる。

4. 従つて、河川の形状変化の移流分散に及ぼす影響を調べるために当つては、以上3つのことを考慮して行う必要があると思われ、これらの事に注目し、現在、凹部と主流部の境界面上における乱れによる、物動係数の構造の把握、及び定量化を行つた。

最後にあたり、本研究に際し、終始助言を賜った東京大学衛生工学教室、佐々木助教授に、感謝の意を表します。

Fig.4

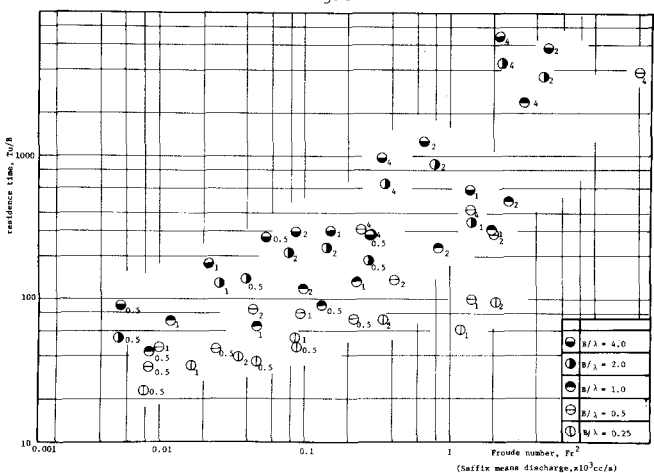


Fig.5

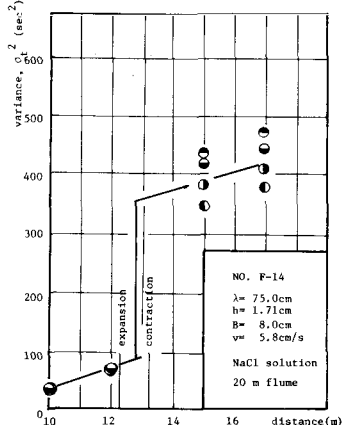


Fig.6

